

## La<sub>2</sub>O<sub>3</sub> 助剂对 Au/TiO<sub>2</sub> 催化氧化 CO 性能的影响

俞俊<sup>1</sup> 吴贵升<sup>2,\*</sup> 毛东森<sup>2</sup> 卢冠忠<sup>1,2,\*</sup>

(<sup>1</sup>华东理工大学工业催化研究所, 结构可控先进功能材料及其制备教育部重点实验室, 上海 200237;

<sup>2</sup>上海应用技术学院化学工程系应用催化研究所, 上海 200235)

**摘要:** 采用溶胶-凝胶法制备了 TiO<sub>2</sub> 以及 La<sub>2</sub>O<sub>3</sub>-TiO<sub>2</sub> 载体, 再用沉积沉淀法制备 Au/TiO<sub>2</sub> 和 Au/La<sub>2</sub>O<sub>3</sub>-TiO<sub>2</sub> 催化剂, 并对催化剂的 CO 氧化反应活性进行测试。结果表明, La<sub>2</sub>O<sub>3</sub> 助剂可以显著提高催化剂催化氧化 CO 的活性。X 射线衍射(XRD)、程序升温脱附(TPD)、N<sub>2</sub> 吸附-脱附(BET)表征结果表明, La<sub>2</sub>O<sub>3</sub> 助剂不仅提高了催化剂比表面积, 抑制了 TiO<sub>2</sub> 晶粒尺寸的长大, 并且增强了 TiO<sub>2</sub> 的晶格应变, 在 O<sub>2</sub> 气氛吸附过程中主要在 TiO<sub>2</sub> 表面形成 O<sup>-</sup>物种。原位傅立叶变换红外(FT-IR)结果进一步表明, La 的掺杂不仅提高了吸附在 Au 活性位 CO 的氧化速率, 还使 TiO<sub>2</sub> 表面形成第二种活性位, 从而显著提高了催化活性。

**关键词:** Au/La<sub>2</sub>O<sub>3</sub>-TiO<sub>2</sub>; CO 催化氧化; TPD; FT-IR

中图分类号: O643

## Effect of La<sub>2</sub>O<sub>3</sub> on Catalytic Performance of Au/TiO<sub>2</sub> for CO Oxidation

YU Jun<sup>1</sup> WU Gui-Sheng<sup>2,\*</sup> MAO Dong-Sen<sup>2</sup> LU Guan-Zhong<sup>1,2,\*</sup>

(<sup>1</sup>Laboratory for Advanced Materials, Research Institute of Industrial Catalysis, East China University of Science and Technology, Shanghai 200237, P. R. China; <sup>2</sup>Research Institute of Applied Catalysis, Department of Chemical Engineering, Shanghai Institute of Technology, Shanghai 200235, P. R. China)

**Abstract:** Pure TiO<sub>2</sub> and La-doped TiO<sub>2</sub> were prepared by the sol-gel method. Au was supported on TiO<sub>2</sub> by the deposition-precipitation (DP) method, and its catalytic activity for CO oxidation was tested. The results showed that doping La in Au/TiO<sub>2</sub> could improve its catalytic activity obviously for CO oxidation. The analyses of X-ray diffraction (XRD), temperature-programmed desorption (TPD), and Brunauer-Emmett-Teller (BET) surface area further showed that the presence of La in TiO<sub>2</sub> not only increased its surface area and restrained the growth of TiO<sub>2</sub> crystallites, but could also enhance the microstrain of TiO<sub>2</sub>. In terms of O<sub>2</sub>-TPD, a new adsorbed species O<sup>-</sup> appeared on the surface of La-doped TiO<sub>2</sub>. The results of *in-situ* Fourier transform-infrared (FT-IR) spectroscopy illustrated that the high activity of Au/La<sub>2</sub>O<sub>3</sub>-TiO<sub>2</sub> was attributed to the presence of La promoting the reactivity of CO adsorbed on the Au site and the formation of the second active site on the surface of TiO<sub>2</sub>.

**Key Words:** Au/La<sub>2</sub>O<sub>3</sub>-TiO<sub>2</sub>; CO catalytic oxidation; TPD; FT-IR

Au/TiO<sub>2</sub> 催化剂作为一种高活性的 CO 低温氧化催化剂近年来颇受关注。研究表明, 影响催化剂活性的因素主要来自 Au 的颗粒尺寸及 Au 和 TiO<sub>2</sub> 之

间的相互作用两方面<sup>[1,2]</sup>。并且越来越多的证据表明后者尤为重要。因为目前大多数研究者均认为<sup>[2-6]</sup>, Au 为 CO 的吸附中心, 而 TiO<sub>2</sub> 为 O<sub>2</sub> 的吸附中心, 两种

Received: May 8, 2008; Revised: June 18, 2008; Published on Web: September 9, 2008.

English edition available online at www.sciencedirect.com

\*Corresponding authors. Email: gzhlu@ecust.edu.cn, gswu@sit.edu.cn; Tel: +8621-64945008.

国家重点基础研究发展计划项目(973)(2004CB719500)、国家自然科学基金(20503005)、上海市科委项目(06JC14095)、上海市教委科研项目(06OZ010)和上海市重点学科建设项目(p1501)资助

组分强相互作用有利于两种吸附物种在催化剂不同组分之间相互溢流,从而加速反应速率。但是Au和TiO<sub>2</sub>之间作用的具体模式还存在很大争议。La<sub>2</sub>O<sub>3</sub>作为催化剂助剂,已经广泛应用于各类催化体系,目前大多数文献把该助剂对催化活性的促进作用归于其提高了活性组分的分散度和催化剂结构的热稳定性<sup>[7-13]</sup>。本文通过稀土助剂氧化镧修饰TiO<sub>2</sub>,从而改变Au和TiO<sub>2</sub>的相互作用来提高催化活性,并通过表征催化剂对CO和O<sub>2</sub>的吸附性能,来阐明助剂效应。

## 1 实验部分

### 1.1 催化剂的制备

采用溶胶-凝胶法制备载体。在40℃下将40%(体积分数)钛酸四丁酯(化学纯)的乙醇溶液缓慢滴入溶液A(5 mL水,10 mL冰醋酸(分析纯)和25 mL无水乙醇(分析纯)混合液)中,并不断搅拌形成溶胶,然后升温至60℃,继续搅拌使溶剂缓慢挥发,形成凝胶,并在80℃下干燥24 h。将得到的干凝胶于550℃焙烧6 h,得到TiO<sub>2</sub>载体。然后将相应含量的硝酸镧(分析纯)溶于溶液A中,并采用同样的方法制备La<sub>2</sub>O<sub>3</sub>-TiO<sub>2</sub>载体。

在HAuCl<sub>4</sub>(分析纯)水溶液(0.025 mol·L<sup>-1</sup>)中慢慢滴加NaOH(1 mol·L<sup>-1</sup>)溶液,直至溶液pH值保持在7.0,然后再将一定含量的TiO<sub>2</sub>或La<sub>2</sub>O<sub>3</sub>-TiO<sub>2</sub>(颗粒度>200目)加入溶液中并在75℃下陈化2 h,必要时补充NaOH(1 mol·L<sup>-1</sup>)溶液使体系的pH值保持在7.0。过滤,洗涤至检测不到Cl<sup>-</sup>为止。最后在80℃干燥10 h,并于300℃下焙烧2 h。Au/TiO<sub>2</sub>和Au/La<sub>2</sub>O<sub>3</sub>-TiO<sub>2</sub>中金的含量均为0.4%(*w*)。

### 1.2 反应活性测试

采用固定床连续流动反应装置进行催化剂活性评价。将0.1 g新鲜催化剂(60~80目)装入反应管(3.5 mm)中,并通入反应气(1%CO、10%O<sub>2</sub>和89%N<sub>2</sub>混合气),控制其流速为40 mL·min<sup>-1</sup>,然后改变反应温度(通过加热炉或冷阱控制反应温度),每隔5~10℃测定一个活性点,直到CO完全转化。其中CO含量用热导检测器(TCD)检测。

### 1.3 催化剂结构表征

用X射线衍射仪(日本理学D/MAX-IIIA型,Cu石墨单色器,λ=0.15418 nm)表征催化剂晶型。通过Scherrer公式( $D=K\lambda/\beta\cos\theta$ )计算纳米TiO<sub>2</sub>粉末的晶粒尺寸,并利用公式 $\varepsilon=\beta/4\tg\theta$ 来计算其晶格应变(式中K为Scherrer常数,与样品和实验条件有关,λ为

衍射波长,β为半高宽,θ为衍射角度)。用美国麦克仪器公司ASAP-2020比表面测定仪测试催化剂的比表面积。

### 1.4 氧程序升温脱附

将0.1 g新鲜催化剂(60~80目)装入固定床反应器中,在N<sub>2</sub>(40 mL·min<sup>-1</sup>)气氛下程序升温(升温速率为20℃·min<sup>-1</sup>)至600℃并维持2 h。然后降至30℃,切换吸附气体O<sub>2</sub>(40 mL·min<sup>-1</sup>),吸附1 h后再切换回N<sub>2</sub>吹扫至尾气无脱附信号。然后程序升温(升温速率为20℃·min<sup>-1</sup>)至600℃,脱附峰信号由TCD检测器检测。

### 1.5 FT-IR表征

采用美国Nicolet 6700型智能红外光谱仪进行催化剂的原位红外漫反射表征。催化剂首先在氮气流(30 mL·min<sup>-1</sup>)中于300℃预处理120 min后降至室温,然后通入O<sub>2</sub>吸附60 min以保证吸附饱和,接着抽真空至系统真空度达到10<sup>-3</sup> Pa,并扫描背景。然后通入相应压力的CO气体( $p_{CO}=8.0$  kPa)并采集红外图谱。为了排除干扰,使用纯度大于99.997%的高纯CO气体,并且再经过脱水、脱氧装置进一步净化气体。在所有实验中,红外分辨率为4 cm<sup>-1</sup>,扫描次数为30次。

## 2 结果与讨论

### 2.1 CO催化氧化活性

催化剂的活性测试结果(见图1)表明,Au/TiO<sub>2</sub>催化活性较差,在0℃下具有一定的催化活性(CO转化率为4%左右),并且随着温度增加其活性逐渐

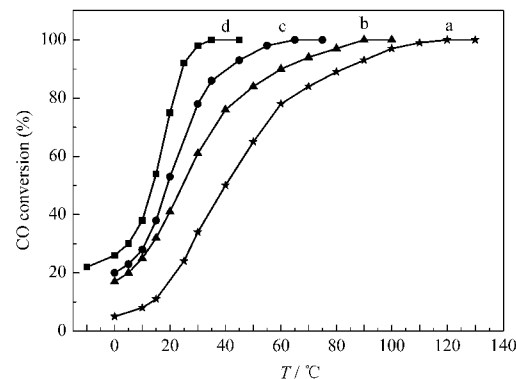


图1 Au/TiO<sub>2</sub>(a)及不同La<sub>2</sub>O<sub>3</sub>含量的Au/La<sub>2</sub>O<sub>3</sub>-TiO<sub>2</sub>催化剂(b-d)的CO催化氧化活性

Fig.1 Catalytic activities of catalysts Au/TiO<sub>2</sub>(a) and Au/La<sub>2</sub>O<sub>3</sub>-TiO<sub>2</sub> with different La<sub>2</sub>O<sub>3</sub> contents (b-d) for CO oxidation

w(La<sub>2</sub>O<sub>3</sub>): (b) 1%, (c) 3%, (d) 5%

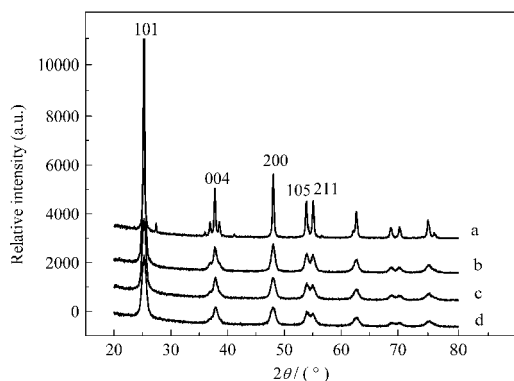


图 2  $\text{Au}/\text{TiO}_2$  (a) 及不同  $\text{La}_2\text{O}_3$  含量的  $\text{Au}/\text{La}_2\text{O}_3\text{-TiO}_2$  (b-d) 催化剂的 XRD 谱图

Fig.2 XRD patterns of catalysts  $\text{Au}/\text{TiO}_2$  (a) and  $\text{Au}/\text{La}_2\text{O}_3\text{-TiO}_2$  with different  $\text{La}_2\text{O}_3$  contents (b-d)  
 $w(\text{La}_2\text{O}_3)$ : (b) 1%, (c) 3%, (d) 5%

增加, 到 120 °C 时 CO 转化率达到 100%。加入  $\text{La}_2\text{O}_3$  可以显著增加其催化活性, 并随镧含量增加, 活性增加幅度也变大, 加入 5% ( $w$ , 质量分数) 的  $\text{La}_2\text{O}_3$ , 其 CO 完全转化所对应温度降低至 35 °C 左右。

## 2.2 催化剂的 XRD 分析

样品的 XRD 结果(见图 2)表明,  $\text{Au}/\text{TiO}_2$  催化剂中  $\text{TiO}_2$  主要呈现锐钛矿晶相, 并且观测不到 Au 的衍射峰, 说明 Au 为高分散状态。随着 La 含量的增加,  $\text{TiO}_2$  的衍射峰明显变宽, 并且  $\text{TiO}_2$  的晶粒尺寸明显变小, 其晶格应变显著增加(见表 1), 比表面积( $S_{\text{BET}}$ )数据也表明催化剂的比表面积随 La 含量的增加而显著增加。这些结果表明掺杂 La 后可以显著增加催化剂的比表面积, 抑制  $\text{TiO}_2$  晶体的长大, 并且增强载体的晶格应变, 从而提高催化剂的催化活性。并且在图 2 中也未发现  $\text{La}_2\text{O}_3$  的衍射峰, 说明 La 物种在催化剂中也呈高度分散状态。

## 2.3 催化剂对 $\text{O}_2$ 的吸附

催化剂的氧 TPD 结果(见图 3)表明, 纯  $\text{TiO}_2$  在 100–350 °C 范围内出现了一个很宽的包峰, 对应于三个脱附峰( $\alpha$ ,  $\beta$  和  $\gamma$ )的重叠。并且,  $\text{Au}/\text{TiO}_2$  结果(见

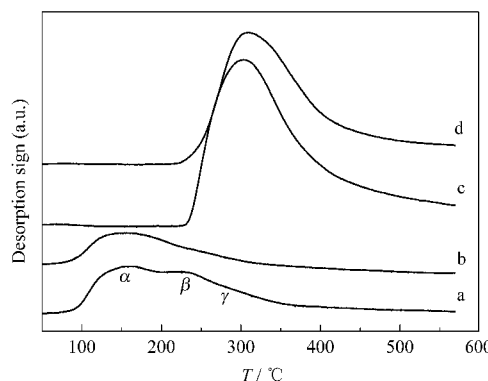


图 3  $\text{TiO}_2$  (a)、 $\text{Au}/\text{TiO}_2$  (b)、 $\text{La}_2\text{O}_3\text{-TiO}_2$  (c) 和  $\text{Au}/\text{La}_2\text{O}_3\text{-TiO}_2$  (d) 催化剂的氧 TPD 图

Fig.3  $\text{O}_2$ -TPD profiles of catalysts  $\text{TiO}_2$  (a),  $\text{Au}/\text{TiO}_2$  (b), 3%  $\text{La}_2\text{O}_3\text{-TiO}_2$  (c), and  $\text{Au}/3\%$   $\text{La}_2\text{O}_3\text{-TiO}_2$  (d)

图 3) 表明, Au 的引入除了使脱附峰强度略微降低外, 并未使  $\text{O}_2$  的脱附峰形状和位置发生明显的变化。该结果与 Masakazu 等<sup>[14]</sup>的研究结果基本一致, 电子自旋共振(electron spin resonance, ESR)结果<sup>[14]</sup>进一步说明这三种吸附物种对应于吸附在不同类型  $\text{Ti}^{4+}$  上的  $\text{O}_2^-$  物种。随着 La 的引入(见图 3), 催化剂上  $\text{O}_2^-$  的低温脱附峰消失, 在 250–400 °C 范围内出现一强氧气脱附峰(见图 3(d)), 并且该位置脱附峰的强度随镧含量增加而增加(见图 4)。Pajares<sup>[15]</sup> 和 Hooff<sup>[16]</sup> 等认为这一区域的脱附峰对应吸附于  $\text{TiO}_2$  表面的  $\text{O}_2^-$  物种的脱附。这说明 La 组分引入不仅改变了  $\text{TiO}_2$  的晶体结构, 而且还有效地促进了  $\text{TiO}_2$  表面对  $\text{O}_2^-$  的解离吸附形成  $\text{O}_2^-$ 。吸附态  $\text{O}_2^-$  在 CO 氧化反应中比吸附态  $\text{O}_2$  具有更强的活泼性, 因此  $\text{Au}/\text{TiO}_2$  催化剂的催化活性随  $\text{La}_2\text{O}_3$  含量增加而显著提高。Bollinger 等<sup>[14]</sup> 采用原位红外漫反射手段得出, 在 CO 氧化反应

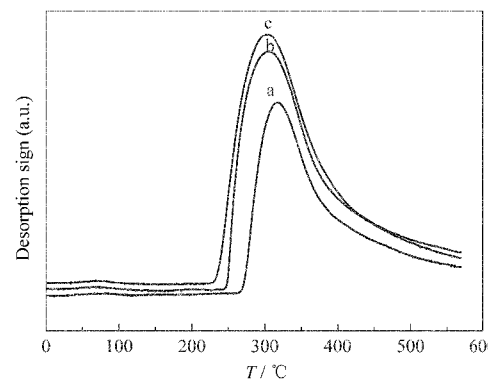


图 4 不同  $\text{La}_2\text{O}_3$  含量的催化剂  $\text{Au}/\text{La}_2\text{O}_3\text{-TiO}_2$  的氧 TPD 图

Fig.4  $\text{O}_2$ -TPD profiles of catalyst  $\text{Au}/\text{La}_2\text{O}_3\text{-TiO}_2$  with different  $\text{La}_2\text{O}_3$  contents

$w(\text{La}_2\text{O}_3)$ : (a) 1%, (b) 3%, (c) 5%

表 1  $\text{Au}/\text{TiO}_2$  及不同  $\text{La}_2\text{O}_3$  含量的  $\text{Au}/\text{La}_2\text{O}_3\text{-TiO}_2$  的催化剂物化性质

Table 1 Physico-chemical properties of catalysts  $\text{Au}/\text{TiO}_2$  and  $\text{Au}/\text{La}_2\text{O}_3\text{-TiO}_2$  with different  $\text{La}_2\text{O}_3$  contents

$w(\text{La}_2\text{O}_3)(\%)$	$S_{\text{BET}} / (\text{m}^2 \cdot \text{g}^{-1})$	$D/\text{nm}$	$\varepsilon/(\%)$
0	24	33.3	0.25
1	60	11.2	0.75
3	65	9.3	0.85
5	71	8.5	0.94

D: crystal size;  $\varepsilon$ : microstrain

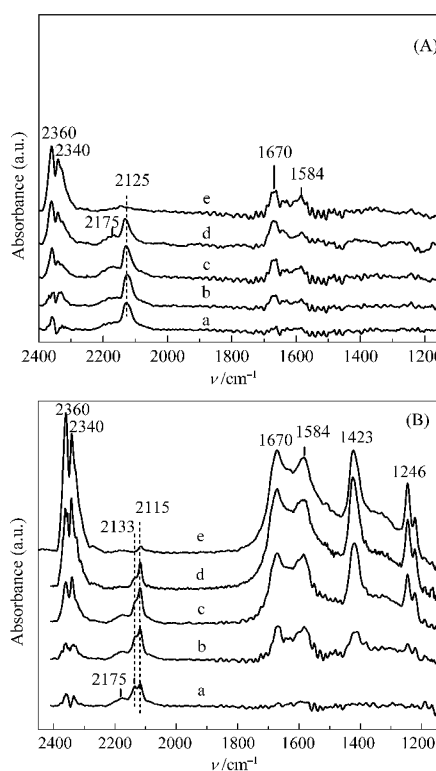


图 5 室温下 CO 在 Au/TiO<sub>2</sub> (A) 和 Au/La<sub>2</sub>O<sub>3</sub>-TiO<sub>2</sub> (B) 上的吸附随时间变化的 FT-IR 光谱

**Fig.5** FT-IR spectra of CO adsorbed on catalysts Au/TiO<sub>2</sub> (A) and Au/La<sub>2</sub>O<sub>3</sub>-TiO<sub>2</sub> (B) at room temperature for different adsorption times

*t/min: (a) 1, (b) 3, (c) 8, (d) 18, (e) 60 (for Au/TiO<sub>2</sub>) or 30 (for Au/La<sub>2</sub>O<sub>3</sub>-TiO<sub>2</sub>); p<sub>CO</sub>=8.0 kPa*

中 TiO<sub>2</sub> 为 O<sub>2</sub> 的活性吸附中心, 而 Au 为 CO 活性吸附中心, 这也暗示了 TiO<sub>2</sub> 表面氧对催化活性的重要性.

#### 2.4 催化剂吸附 CO 后的原位红外光谱

为了进一步说明镧改性后催化剂表面活性位的变化, 利用 FT-IR 技术比较了 Au/TiO<sub>2</sub> 和 Au/La<sub>2</sub>O<sub>3</sub>-TiO<sub>2</sub> 两种催化剂预吸附 O<sub>2</sub> 后对 CO 的吸附变化情况(见图 5). 结果表明, CO 在 Au/TiO<sub>2</sub> 上的吸附主要在 2175 和 2125 cm<sup>-1</sup> 位置出现两个特征振动峰, 而在 Au/La<sub>2</sub>O<sub>3</sub>-TiO<sub>2</sub> 上则出现了 2175、2133 和 2115 cm<sup>-1</sup> 三个吸附峰. 一般认为, 2175 cm<sup>-1</sup> 对应于 CO 在 Ti<sup>4+</sup>活性位上的吸附, 2160–2125 cm<sup>-1</sup> 对应于 CO 在(Au<sub>n</sub>)<sup>δ+</sup>活性位上的吸附<sup>[5,17–24]</sup>, 2115 cm<sup>-1</sup> 对应于 CO 在Au活性位上的吸附<sup>[25–27]</sup>. 结果表明CO在Au/La<sub>2</sub>O<sub>3</sub>-TiO<sub>2</sub>的(Au<sub>n</sub>)<sup>δ+</sup>活性位上的吸附特征峰相对于Au/TiO<sub>2</sub>蓝移到更高波数位, 说明 Au 颗粒与更多氧原子相配位. 随着吸附时间的延长, TiO<sub>2</sub> 表面 2125 cm<sup>-1</sup> 吸附峰逐渐减弱, 气相 CO<sub>2</sub> 逐渐增强, 并在 1670 和 1584 cm<sup>-1</sup> 处出现弱吸附峰, 对应于吸附态羧基峰和

羧酸盐的羧基峰<sup>[28]</sup>. 而在 Au/La<sub>2</sub>O<sub>3</sub>-TiO<sub>2</sub> 表面, 随着吸附时间的延长, 2133 cm<sup>-1</sup> 特征吸收峰强度迅速降低, 气相 CO<sub>2</sub> 特征峰显著增强, 说明吸附在(Au<sub>n</sub>)<sup>δ+</sup>位 CO 与氧反应形成 CO<sub>2</sub>, 催化剂的氧 TPD 结果表明, 在 Au/La<sub>2</sub>O<sub>3</sub>-TiO<sub>2</sub> 催化剂表面存在大量的吸附态 O<sup>-</sup>, 进一步验证了吸附态 O<sup>-</sup>促进了 CO<sub>2</sub> 的形成. 而在 1100–1700 cm<sup>-1</sup> 区域, 除了特别强的吸附态羧基峰和羧基峰外, 还在 1584、1423 和 1246 cm<sup>-1</sup> 等位置出现强吸收峰, 对应于双配位和单配位的碳酸盐的碳酸基团特征吸收峰<sup>[5,29,30]</sup>. 该特征峰相对比较稳定, 如果在体系中通入一定的氧气, 碳酸盐物种逐渐消失, 并伴随着气相 CO<sub>2</sub> 的进一步生成(图未示出). 这些结果表明, La<sub>2</sub>O<sub>3</sub> 助剂不仅使 Au 组分与更多的氧原子相配位, 增强了对 CO 的吸附, 还促进了吸附态 O<sup>-</sup>的形成, 从而提高了 CO 氧化的反应速率; 并且催化剂中还存在第二种活性位, 也就是吸附在 Au 上 CO 物种向载体表面溢流, 形成碳酸盐, 在原子氧的进攻下形成 CO<sub>2</sub>, 从而进一步提高了 CO 的氧化速率.

### 3 结 论

La<sub>2</sub>O<sub>3</sub> 助剂可以显著提高催化剂催化氧化 CO 的活性, 并且随着 La 含量的增加催化剂的活性依次增加. 催化剂的结构表征结果表明, La<sub>2</sub>O<sub>3</sub> 助剂不仅可以提高催化剂的比表面积, 抑制 TiO<sub>2</sub> 的晶粒尺寸长大, 增强了 TiO<sub>2</sub> 的晶格应变, 而且在 O<sub>2</sub> 气氛中, 还促进了 TiO<sub>2</sub> 表面 O<sup>-</sup>的形成, 从而提高了催化活性. 在催化剂中引入 La<sub>2</sub>O<sub>3</sub> 助剂, 还可诱导 TiO<sub>2</sub> 表面第二活性位的形成.

### References

- 1 Valden, M.; Lai, X.; Goodman, D. W. *Science*, **1998**, **281**: 1647
- 2 Bond, G. C.; Thompson, D. T. *Catal. Rev. Sci. Eng.*, **1999**, **41**: 319
- 3 Haruta, M.; Tsubota, S.; Kobayashi, T.; Kageyama, H.; Genet, M. J.; Delmon, B. J. *Catal.*, **1993**, **144**: 175
- 4 Bollinger, M. A.; Vannice, M. A. *Appl. Catal. B: Environ.*, **1996**, **8**: 417
- 5 Bocchetti, F.; Chiorino, A.; Tsubota, S.; Haruta, M. *J. Phys. Chem.*, **1996**, **100**: 3625
- 6 Konova, P.; Naydenov, A.; Venkov, C.; Mehandjiev, D.; Andreeva, D.; Tabakova, T. *J. Mol. Catal. A: Chem.*, **2004**, **213**: 235
- 7 Yang, P.; Lu, C.; Hua, N. P. *Mater. Lett.*, **2002**, **57**: 794
- 8 Li, H. Q.; Li, Y. X.; Zhou, X. M.; Peng, S. Q.; Lü, G. X.; Li, S. B. *J. Mol. Catal. (China)*, **2004**, **18**: 304 [李慧泉, 李越湘, 周新木, 彭绍琴, 吕功煊, 李树本. 分子催化, **2004**, **18**: 304]

- 9 Cimino, S.; Colonna, S.; Rossi, S. D.; Faticanti, M.; Lisi, L.; Pettiti, I.; Porta, P. *J. Catal.*, **2002**, *205*: 309
- 10 Wu, X. H.; Ding, X. B.; Qin, W.; He, W. D.; Jiang, Z. H. *J. Hazard. Mater. B*, **2006**, *137*: 192
- 11 Atribak, I.; Such-Basanez, I.; Bueno-Lopez, A.; Garcia, A. *Catal. Commun.*, **2007**, *8*: 478
- 12 Hou, K. J.; Meng, M.; Zou, Z. Q.; Lv, Q. *Chin. J. Inorg. Chem.*, **2007**, *23*: 1538 [侯凯军, 孟明, 邹志强, 吕倩. 无机化学学报, **2007**, *23*: 1538]
- 13 Chen, J. X.; Qiu, Y. J.; Zhang, J. Y.; Su, W. H. *Acta Phys. -Chim. Sin.*, **2004**, *20*(1): 76 [陈吉祥, 邱业君, 张继炎, 苏万华. 物理化学学报, **2004**, *20*(1): 76]
- 14 Masakazu, I.; Yukihiro, Y. *J. Phys. Chem.*, **1978**, *82*: 2564
- 15 Chon, H.; Pajares, J. *J. Catal.*, **1969**, *14*: 257
- 16 van Hooff, J. H. C. *J. Catal.*, **1968**, *11*: 277
- 17 Tabakova, T.; Bocuzzi, F.; Manzoli, M.; Sobczak, J. W.; Idakiev, V.; Andreeva, D. *Appl. Catal. B: Environ.*, **2004**, *49*: 73
- 18 Pestryakov, A.; Lunin, V.; Kharlanov, A.; Kochubey, D.; Bogdanchikova, N.; Stakheev, A. *J. Mol. Struct.*, **2002**, *642*: 129
- 19 Venkov, T.; Fajerwerg, K.; Delannoy, L.; Klimev, H.; Hadjiivanov, K.; Louis, C. *Appl. Catal. A: Gen.*, **2006**, *301*: 106
- 20 Venkov, T.; Klimev, H.; Centeno, M. A.; Odriozola, J. A.; Hadjiivanov, K. *Catal. Commun.*, **2006**, *7*: 308
- 21 Riahi, G.; Guillemont, D.; Polisset-Thfoin, M.; Khodadadi, A.; Fraissard, J. *Catal. Today*, **2002**, *72*: 115
- 22 Grunwaldt, J. D.; Maciejewski, M.; Becker, O.; Fabrizioli, P.; Baiker, A. *J. Catal.*, **1999**, *186*: 458
- 23 Guillemot, D.; Borokov, V.; Kazansky, V.; Polisset-Thfoin, M.; Fraissard, J. *J. Chem. Soc. Faraday Trans.*, **1997**, *93*: 3587
- 24 Fierro-Gonzalez, J. C.; Anderson, B. G.; Ramesh, K.; Vinod, C. P.; Niemant-Sverdried, J. W. H.; Gates, B. C. *Catal. Lett.*, **2005**, *101*: 265
- 25 Minico, S.; Scire, S.; Crisafalli, C.; Visco, A. M.; Galvagno, S. *Catal. Lett.*, **1997**, *47*: 273
- 26 Bocuzzi, F.; Chiorino, A.; Manzoli, M. *Surf. Sci.*, **2000**, *454-456*: 942
- 27 Bocuzzi, F.; Chiorino, A. *J. Phys. Chem. B*, **2000**, *104*: 5414
- 28 Nishiyama, S.; Hara, T.; Tsuruya, S.; Masai, M. *J. Phys. Chem. B*, **1999**, *103*: 4435
- 29 Pollard, M. J.; Weinstock, B. A.; Bitterwolf, T. E.; Griffiths, P. R.; Newbery, A. P.; Paine, J. P. *J. Catal.*, **2008**, *254*: 219
- 30 Debeila, M. A.; Wells, R. P. K.; Anderson, J. A. *J. Catal.*, **2006**, *239*: 165